

植物类黄酮生物合成的分子调控

郭欣慰^{1,2}, 黄丛林², 吴忠义², 张秀海², 罗昌², 程曦²

(1. 首都师范大学 生命科学学院, 北京 100037; 2. 北京市农林科学院 北京农业生物技术研究中心, 北京 100097)

摘要:类黄酮是一类重要的多酚类次生代谢物, 在植物中分布广泛, 具有抗菌、抗氧化等重要功能。围绕类黄酮生物合成, 概述了类黄酮合成途径中的重要基因以及生物合成调控的分子机制等方面的研究进展, 以期从分子角度为提高类黄酮合成提供一定的理论基础。

关键词:类黄酮; 生物合成; 分子调控

中图分类号:Q 946-33 **文献标识码:**A **文章编号:**1001-0009(2011)04—0204—04

类黄酮是一大类重要的次生代谢产物, 在生物体内发挥着重要作用。在植物中, 豌豆素、菜豆素、大豆素等异黄酮类是三大植保素(Phytoalexin)之一; 在人体和动物中, 黄酮类化合物能增强机体的非特异性免疫和体液免疫。菊花黄酮、大豆黄酮(Daidzein)、山楂叶黄酮等还具有降低血脂、胆固醇和保护动脉完整的作用, 可用于预防和治疗动脉粥样硬化、冠心病和心肌梗塞等疾病。并且类黄酮还因其强抗氧化作用而被称为“自由基清道夫”, 具有抗癌、抗肿瘤和延缓细胞衰老等功能。例如白杨素(Chrysin)、橙皮素(Hesperetin)、柑橘黄酮(Tangeretin)等。

类黄酮主要存在于维管植物和部分苔藓植物中。类黄酮的生物合成即通过对类黄酮途径的调控来提高植物体内类黄酮的合成。目前在类黄酮工业合成中, 主要以对天然类黄酮的化学修饰等化学合成为主, 生物合成较少。因此如何提高类黄酮的生物合成是类黄酮合成的创新点和热点之一。类黄酮途径是目前研究得最为清晰的次生代谢途径, 这为从分子角度研究类黄酮生物合成提供了良好的基础。调控类黄酮合成的策略目前主要是从非生物因素、自身途径的相关基因和其它途径的间接作用等方面入手。现对类黄酮的种类、功能、相关重要基因及合成途径调控等方面的研究进行简要综述。

1 类黄酮的种类与分布

类黄酮是一大类具有“黄烷核”基本骨架(C₆-C₃-

第一作者简介:郭欣慰(1987-), 在读硕士, 研究方向为花卉分子生物学。

通讯作者:黄丛林(1969-), 研究员, 现主要从事植物逆境调控和菊花生物技术育种工作。E-mail:conglinh@126.com。

基金项目:北京市科委资助项目(Z09050600630906); 科技部科技支撑计划资助项目(2009BADB8B04); 北京市园林绿化局资助项目(YLHH201000104)。

收稿日期:2010-12-07

C₆)的低分子量多酚类物质的总称。目前已知的种类已超过9000种^[1]。黄烷核由2个芳香环(A环和B环)通过1个中央三碳桥连接而成, 中央三碳桥往往形成杂环(C环)。根据B环的连接位置(2-或3位)、中央三碳链的氧化程度以及中央三碳链是否构成环状等特点, 一般可将类黄酮分为6类^[2]: 黄酮(Flavones)、黄酮醇(Flavonols)、黄烷酮(Flavanones)、异黄酮(Isoflavones)、黄烷醇(Flavanols)及花色素(Anthocyanidins)。

类黄酮化合物的存在形式既有游离体的, 也有与糖结合成苷的, 如花色苷、柚皮素(Naringenin)等。对于不同构象的类黄酮, 拟南芥中存在有选择的吸收系统。类黄酮的糖苷基不带负电荷, 具有亲脂性, 这一特性有利于类黄酮在生物膜系统上进行各类反应。

类黄酮在苔藓植物、蕨类植物等裸子植物中分布不多, 其成分最集中的是被子植物。目前开发相对较多的有大豆、柑橘等, 另外很多药用植物也富含类黄酮, 如菊花、野菊花、银杏叶、山楂、黄芪、葛根、陈皮、枳实等。在成熟植物中, 类黄酮在茎部、叶片、花序、花粉、柱头、花原基细胞以及感受重力的柱细胞、表皮细胞和皮层细胞等都有积累。不同种类类黄酮的含量随植物生长而变化。例如在拟南芥种子中, 85%的黄酮醇都来自槲皮素Q, 而在拟南芥叶片、茎、花、幼苗中最主要的黄酮醇是山奈酚K^[3]。不同种类类黄酮的积累部位也存在明显差异。在幼嫩的*Landsberg erecta* 种子的胚轴根尖过渡区, K积累在表皮, Q积累在皮层^[4-5]。这些积累方式与类黄酮通过复杂的膜系统调控植物生长、形态、花粉育性等都密不可分。

2 类黄酮合成的相关基因

类黄酮的合成途径是目前研究最为清晰的次生代谢途径^[6]。类黄酮途径的相关基因主要分为二大类: 结构基因和调节基因, 还有少部分其它基因如: tt9, tt13, tt17, tds1, 3, 5, 6, tds2^[7](表1)。

拟南芥中类黄酮途径的突变体根据外种皮颜色主要分为二大类: 透明种皮基因(*transparent testa genes*,

TTgene)和非透明种皮基因。目前在拟南芥中已经鉴定出21个透明种皮基因(*tt1-19, ttg1, ttg2*)^[8],这些基因的突变导致外种皮颜色不同程度地变浅或透明,进而反映出内部子叶的颜色,显示为黄褐色至浅黄色^[9]。非透明种皮基因如BAN的突变则使种子在萌发早期显紫色。

表1 类黄酮途径的部分相关基因

结构基因	
<i>tt3</i>	黄烷酮醇还原酶(Dihydroflavonol reductase, DFR)
<i>tt4</i>	查耳酮合酶(Chalcone synthase, CHS)
<i>tt5</i>	查耳酮异构酶(Chalcone isomeras, CHI)
<i>tt6</i>	3-二氢黄酮羟化酶(Flavanone 3'-hydroxylas, F3'H)
<i>tt7</i>	黄酮醇3'-羟化酶(Flavanone 3'-hydroxylas, F3'H)
<i>tt10</i>	多酚氧化酶(Polyphenol oxidase, PPO)
<i>tt15</i>	糖基转移酶(Glycosyltransferase, GT)
<i>tt18/tt4/tt11</i>	无色花青素双加氧酶(Leucoanthocyanidin dioxygenase, LDOX)
<i>fls1</i>	黄酮合酶(Flavanone synthase, FLS)
<i>ban</i>	花青素还原酶(Authocyanidin reductase, ANR)
<i>tt12</i>	MATE家族二级转运因子
<i>tt19/tt14</i>	谷胱甘肽S转移酶(Glutathione S-transferase, GST)
调节基因	
<i>tt1</i>	WIP型锌指转录因子
<i>tt2</i>	MYB型转录因子
<i>tt8</i>	bHLH型转录因子
<i>tt16</i>	MADS转录因子
<i>ttg1</i>	WD40调节蛋白
<i>ttg2</i>	WRKY型转录因子

2.1 类黄酮合成的结构基因

在类黄酮合成的结构基因中,相关重要基因主要集中在从查耳酮到形成花青素的过程。在拟南芥中涉及到的突变体包括 $tt5, tt6, fls1, tt3, tt7, tt10$ 等。

$tt5$ 为CHI基因突变,CHI催化查耳酮到异黄酮的可逆反应。该植株由于角质层蜡质的改变而呈浅绿色。至今只有一个 $tt5$ 株系被分离出来,并且添加CHI不能补偿突变表型,因此推测可能有一个与 $tt5$ 紧密连锁的突变实际也产生 $tt5$ 的表型^[10]。

3-二氢黄酮羟化酶F3H属催化柚皮素转化为二氢山奈酚DHK。该突变理论上应导致柚皮素的大量积累,并且添加DHK后突变表型能恢复。但实际在 $tt6$ 中根本检测不到柚皮素,这可能是由于柚皮素并不稳定或者很快就转化为其它化合物^[4]。并且添加DHK后,下胚轴延长的突变表型更加明显。因而推测这个突变的基因可能是渗漏的^[11],或者DHK到K的反应可能依赖于F3H的调控。

黄酮醇合酶FLS之前被认为是不可逆的,只能单向催化DHK形成K或二氢槲皮素DHQ形成Q。但这样就无法解释添加K之后Q的积累明显提高的现象^[12]。有报道认为F3'H可以催化K到Q的直接转化,还有待试验证明^[17]。但目前能明确的是Q不能转化为K。因对 $tt4$ (CHS缺失)添加柚皮素可以恢复该突变体的表型,而Q则不行^[10],说明FLS不能逆向催化形成进一步形成花青素。

$tt7$ 为F3'H缺乏,DHK合成提高,其外种皮为不完

全的灰棕色。 $tt7, tt12$ 的双突变体缺乏原花色素,其外种皮完全透明,完全不同于2个单突变的表型^[14]。这2个位点的突变几乎完全抑制了原花色素的合成,其中 $tt7$ 阻断了DHQ这一通路,因此推断 $tt12$ 可能阻断了DHK这一通路。

$tt6$ (F3H突变)和 $tt10$ (PPO突变)会随着储存时间的延长而变暗,并且在所有突变体中,只有这二者在所有组织部位都能检测到花青素, $tt6$ 相比野生型稍低, $tt10$ 则与野生型相当^[10]。 $tt10$ 的种子是浅棕色的,它可能参与将原花青素由无色氧化为棕色的过程,但 $tt10$ 的具体功能现在还不是很清楚^[7]。

2.2 类黄酮合成的转录基因

目前,已从玉米、拟南芥、矮牵牛、水稻等植物中分离、鉴定了调控黄酮类次生代谢的转录基因,分别属于编码MYB、MYC(bHLH)、bZIP蛋白、WD40蛋白、锌指蛋白等各类基因家族。

$tt1$ 是WIP家族的一个锌指蛋白类转录因子; $tt2$ 是一个含有2个重复MYB(R2R3)的转录因子。 $tt8$ 是bHLH类转录因子。 $ttg1$ 是WD40类转录因子,含有4个WD重复的蛋白,该突变体的一个特点是缺乏表皮毛,种子完全缺少花青素,进一步发现该突变体类黄酮途径中黄烷酮醇-4-还原酶催化受阻^[15]。 $ttg2$ 是在TTG1下游作用的一个WRKY型转录因子,包含2个SPF1锌指结构域,也调控表皮毛的形成。 $tt16$ 蛋白含有植物MADS-box的典型结构。MADS被认为参与DNA的结合以及蛋白质之间的相互作用^[16]。

这些转录因子可以通过互作共同调控类黄酮途径相关基因的表达,也可以直接调控。共同调控方式以类黄酮合成途径中后期花色素还原酶BAN(BANYLUS)基因的表达为例,首先 $tt2$ 与 $tt8$ 形成一个复合体,结合到BAN的启动子上,之后 $ttg1$ 和 $tt2$ 相互作用形成的复合体,进一步激活 $tt8$ 的表达^[17]。因此推测 $ttg1$ 似乎在 $tt8$ 的上游行使功能^[18]。而同时 $tt8$ 的激活又促进了 $ttg1$ 的表达,最后这三者相互作用形成MBW(MYB-bHLH-WD40)三连复合物,共同诱导BAN基因的表达。

直接调控以MYB12为例。MYB12转录因子可以特异激活黄酮醇的表达。它的表达水平与幼嫩种子中黄酮醇的含量密切相关。MYB12与玉米的P因子具有高度相似性,发挥作用时不需要bHLH协助。过量表达MYB12可使CHS、FLS、CHI和F3H表达增强,但MYB12缺失对CHI和F3H影响不大。MYB12活性的变化不影响F3'H和DFR基因的表达,以及花青素的形成^[19]。

3 类黄酮合成的分子机制

3.1 类黄酮的合成途径

类黄酮基本骨架中的B环和桥是从莽草酸途径(Shikimic acid pathway)经苯丙氨酸转变来的,而A环则来自丙二酸途径(Malonic acid pathway)。植物类黄酮合

成的前期途径都是以香豆酰 CoA 和丙二酰 CoA 为前体,香豆酰 CoA 来自苯丙烷合成途径(Phenylpropanoid pathway),丙二酰 CoA 来自乙酰 CoA,二者在查耳酮合酶 CHS 的作用下形成黄色的查耳酮^[12,26],这一步是类黄酮途径的第一个限速步骤。然后由查耳酮异构酶 CHI 催化查耳酮生成无色的柚皮素,柚皮素经黄酮醇-3-

羟化酶 F3H 催化,生成二氢山奈酚 DHK,DHK 在 F3'H 和 F3'5'H 催化下分别形成二氢槲皮素 DHQ 和二氢杨梅素 DHM,这三者一方面在黄酮醇合成酶 FLS 作用下分别合成山奈酚 K、槲皮素 Q 和杨梅素 M,另一方面进一步合成出花翠素(Delphindin)、花青素(Cyanidin)和花葵素(Pelargonidin)。

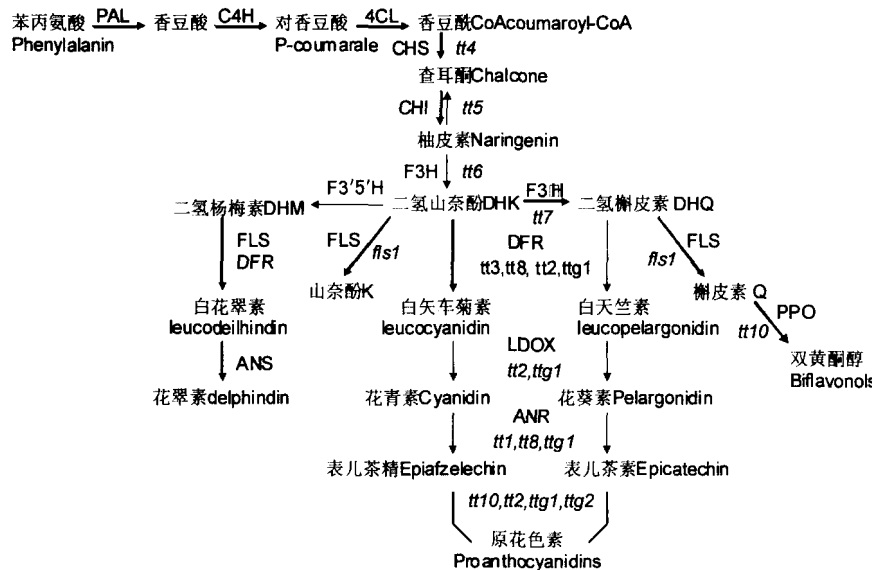


图 1 类黄酮合成途径

3.2 类黄酮合成途径的调控

3.2.1 外界因素 很多报道证实长时间或高强度的 UV-B 辐射能诱导植物体内较高的类黄酮水平。因为在查耳酮合酶 CHS、查耳酮黄烷酮异构酶 CFI、黄烷酮羟化酶 F3H 和黄酮醇合酶 FLS 这 4 个基因的启动子中,均含有大量的光调节元件 LRUs。在拟南芥中这 4 个基因一致应答光诱导^[20]。对于拟南芥,蓝光处理后其叶片花色苷的积累随光强和光照时间的延长而增加,并且对于组培苗,培养基中不添加蔗糖会削弱花色苷的积累^[21]。在土豆(*Ipomoea batatas* (L.) Lam.)中发现长日照能明显诱导大量类黄酮途径相关基因的表达^[22]。对欧洲越橘(*Vaccinium myrtillus* L.)的研究发现,接触紫外线较多的上部叶片,较受到遮阴的下部叶片含有更多的类黄酮类化合物,并且上部叶片因此呈现红色,下部叶片则为绿色^[23]。此外其它非生物胁迫如高盐、干旱、低温等以及生物胁迫如病原菌等,均会不同程度地提高特定类黄酮的含量。

3.2.2 自身途径的调控 在类黄酮自身合成途径中,查耳酮合酶 CHS 是类黄酮途径的第一个关键酶,CHS 的活性直接关系到类黄酮的合成,也是该途径中研究得最为透彻的一个酶。试验证明直接转入 CHS 基因的正义表达载体可明显提高类黄酮含量,并导致植株花色的改变。在非洲菊最外层花中,CHS 基因的表达与花色素苷含量的变化趋势相似,说明非洲菊形成黄色花的过程中 CHS 基因的表达是一个关键因素^[24]。而将 CHS 反义

载体转入洋桔梗,出现花色变淡性状,有的花甚至完全成为白色,且白色花中总类黄酮的量减少到野生型的大约 2.0%^[32]。这也说明如果希望从花瓣中获得高含量的类黄酮,在试验品种上应尽量避免白色花。同时 CHS 基因在多种器官组织中表达,因此若采用转基因过量表达 CHS 的方法,应采用器官或组织特异启动子。此外在启动子的选择上还可以考虑其它受环境因素如光照、干旱以及化学药物等诱导的启动子。例如采用 ABA 合成途径中 *AtNCED3* 及 *AtAAO3* 的启动子驱动烟草 CHS 在烟草中的表达,结果显示,非干旱胁迫下转基因植株与非转基因植株花色没有明显变化,而经 20 d 的干旱处理后,半定量 RT-PCR 分析显示,NCED3 和 AAO3 启动子驱动的 CHS 基因表达水平均有显著提高,花瓣颜色明显加深,其中 NCED3 更为显著^[26]。

3.2.3 其它途径的间接调控 苯丙氨酸解氨酶 PAL 是苯丙氨酸代谢途径的进入点酶,也是类黄酮合成的关键酶之一。PAL 的活性与类黄酮合成具有密切关系。在大豆叶片中,大豆异黄酮总含量与叶片中 PAL 的表达量具有协同增减的趋势,并且在初花期达到顶峰^[27]。在巨峰葡萄中,花青素含量的变化也与苯丙氨酸解氨酶 PAL 活性呈极显著的指数相关^[28]。此外施加高量钾和铁肥能显著提高 PAL 活性和花青素含量,其中施高量钾肥的效果最明显,这可能与钾对于氮的吸收有一定的拮抗效应和铁对磷有固定作用有关^[29]。此外氮缺乏可以提高 tt2 和 tt8 两类转录因子的表达及类黄酮的

积累^[30]。

除了PAL基因,近来对拟南芥中木质素合成基因HCT缺失的突变体的研究发现,其植株矮小的原因是由于类黄酮的积累。因木质素合成抑制导致代谢物改变方向进入类黄酮,引起类黄酮醇等物质的大量积累^[6]。

参考文献

- [1] Buer C S, Lmin N, Djordjevic M A. Flavonoids: New roles for old molecules[J]. *Journal of integrative plant biology*, 2010, 52(1): 98-111.
- [2] Rice-Evans C A, Miller N J. Structure-antioxidant activity relationships of flavonoids and isoflavonoids[M]. *Flavonoids in Health and Disease*, 1997, 199-219.
- [3] Routaboul J M, Kerhoas L, Debeaujon I, et al. Flavonoid diversity and biosynthesis in seed of *Arabidopsis thaliana*[J]. *Planta*, 2006, 224: 96-107.
- [4] Peer W A, Brown D E, Tague B W, et al. Flavonoid accumulation patterns of transparent testa mutants of *Arabidopsis*[J]. *Plant physiology*, 2001, 126: 536-548.
- [5] Tripoli E, Guardia M L, Giammanco S, et al. Citrus flavonoids: Molecular structure, biological activity and nutritional properties: A review[J]. *Food Chemistry*, 2007, 104(2): 466-479.
- [6] Besseau S, Hoffmann L, Geoffroy P, et al. Flavonoid accumulation in *Arabidopsis* repressed in lignin synthesis affects auxin transport and plant growth[J]. *The Plant Cell*, 2007, 19: 148-162.
- [7] Lepiniec L, Debeaujon I, Routaboul J M, et al. Genetics and biochemistry of seed flavonoids[J]. *Annual Review of Plant Biology*, 2006, 57: 405-30.
- [8] Shirley B W. Flavonoid Biosynthesis. A colorful model for genetics, biochemistry, cell biology, and biotechnology[J]. *Plant physiology*, 2001, 126: 485-493.
- [9] Koornneef M. The complex syndrome of ttg mutants[J]. *Arabidopsis Info. Serv*, 1981, 18: 45-51.
- [10] Shirley B W, Kubasek W L, Storz G, et al. Analysis of *Arabidopsis* mutants deficient in flavonoid biosynthesis[J]. *Plant Journal*, 1995(8): 659-671.
- [11] Buer C S, Djordjevic M A. Architectural phenotypes in the transparent testa mutants of *Arabidopsis thaliana*[J]. *Journal of Experimental Botany*, 2009, 60(3): 751-763.
- [12] Buer C S, Muday G K, Djordjevic M A. Flavonoids are differentially taken up and transported long distances in *Arabidopsis*[J]. *Plant Physiology*, 2007, 145: 478-490.
- [13] Graham T L. Flavonoid and flavonol glycoside metabolism in *Arabidopsis*[J]. *Plant Physiology and Biochemistry*, 1998, 36(1-2): 135-144.
- [14] Debeaujon I, Peeters A J M, Leon-Kloosterziel K M, et al. The transparent testa 12 gene of *Arabidopsis* encodes a multidrug secondary transporter-like protein required for flavonoid sequestration in vacuoles of the seed coat endothelium[J]. *The Plant Cell*, 2001, 13: 853-871.
- [15] Grotewold E. The science of flavonoids[M]. USA: Springer Press, 2006: 71-90.
- [16] Nathalie N, Isabelle D, Clarisse J, et al. The *transparent testa* 16 locus encodes the *Arabidopsis* bHLH domain protein and is required for proper development and pigmentation of the seed coat[J]. *The Plant Cell*, 2002, 14: 2463-2479.
- [17] Ramsay N A, Walker A R, Mooney M, et al. Two basic-helix-loop-helix genes(MYC-146 and GL3)from *Arabidopsis* can activate anthocyanin biosynthesis in a white-flowered *Matthiola incana* mutant[J]. *Plant Molecular Biology*, 2003, 52(3): 679-688.
- [18] Ramsay N A, Glover B J. MYB-bHLH-WD40 protein complex and the evolution of cellular diversity[J]. *Trends in Plant Science*, 2005, 10(2): 63-70.
- [19] Frank M, Harald K, Pawel B, et al. The *Arabidopsis* transcription factor MYB12 is a flavonol-specific regulator of phenylpropanoid biosynthesis[J]. *Plant physiology*, 2005, 138: 1083-1096.
- [20] Hartmann U, Sagasser M, Mehrtens F, et al. Differential combinatorial interactions of cis-acting elements recognized by R2R3-MYB, BZIP, and BHLH factors control light-responsive and tissue-specific activation of phenylpropanoid biosynthesis genes[J]. *Plant Molecular Biology*, 2005, 57(2): 155-171.
- [21] 王曼,王小菁.蓝光和蔗糖对拟南芥花色素苷积累和CHS基因表达的影响[J].热带亚热带植物学报,2004,12(3):252-256.
- [22] Carvalho I S, Cavaco T, Carvalho L M, et al. Effect of photoperiod on flavonoid pathway activity in sweet potato (*Ipomoea batatas*(L.) Lam.) leaves [J]. *Food Chemistry*, 2010, 118(2): 384-390.
- [23] Jaakola L, Riihinen M K, Karenlampi S, et al. Activation of flavonoid biosynthesis by solar radiation in bilberry (*Vaccinium myrtillus* L.) leaves[J]. *Planta*, 2004, 218: 721-728.
- [24] 张玉进,孟祥春,潘瑞炽,等.非洲菊苯基苯乙烯酶合成酶CHS基因表达模式的初步研究[J].华南农业大学学报(自然科学版),2002,23(2): 89-90.
- [25] Deroles S C. An antisense chalcone synthase cDNA leads to novel colour patterns in lisanthus (*Eustoma grandiflorum*) flowers[J]. *Mol Breed*, 1998 (4): 59-66.
- [26] 魏开发. AtNCED3及AtAAO3基因启动子功能分析及其驱动CHS基因表达[J].湖北民族学院学报(自然科学版),2009,27(2):121-125.
- [27] 张大勇,李文滨,李冬梅,等.大豆叶片异黄酮含量与PAL基因相对表达量的关系[J].大豆科学,2009,28(4):670-673.
- [28] 赵宗方,赵勇,吴桂法.果实花青素含量与PAL活性关系的研究[J].园艺学报,1994,21(2):199-200.
- [29] 郭世乾,王春枝,李瑛,等.施肥对南果梨花青素含量及苯丙氨酸解氨酶活性的影响[J].中国农学通报,2006,22(2):313-315.
- [30] Lea U S, Slimestad R, Smedvig P, et al. Nitrogen deficiency enhances expression of specific MYB and bHLH transcription factors and accumulation of end products in the flavonoid pathway[J]. *Planta*, 2007, 225(5): 1245-1253.

Molecular Regulation of Plant Flavonoid Biosynthesis Pathway

GUO Xin-wei^{1,2}, HUANG Cong-lin², WU Zhong-yi², ZHANG Xiu-hai², LUO Chang², CHENG Xi²

(1. Department of Life Science, Capital Normal University, Beijing 100037; 2. Beijing Agro-Biotechnology Research Center, Beijing Academy of Agriculture and Forestry Science, Beijing 100097)

Abstract: Flavonoids are one kind of polyphenolic secondary metabolites, widely existing in plants, play significant roles on plant protection, such as anti-bacterial and antioxidant. In this paper, the important genes related to flavonoid biosynthesis and its molecular regulation mechanisms were summarized.

Key words: flavonoid; biosynthesis pathway; molecular regulation